



**LE RÉSEAU DE CRÉATION
ET D'ACCOMPAGNEMENT PÉDAGOGIQUES**

**Ce document a été mis en ligne par le Canopé de l'académie de Montpellier
pour la Base Nationale des Sujets d'Examens de l'enseignement professionnel.**

Ce fichier numérique ne peut être reproduit, représenté, adapté ou traduit sans autorisation.

BTS MÉTIERS DE L'EAU

ÉTUDE DE CAS – U. 61

SESSION 2016

Durée : 4 heures
Coefficient : 4

Matériel autorisé :

- toutes les calculatrices de poche y compris les calculatrices programmables, alphanumérique ou à écran graphique sous réserve que leur fonctionnement soit autonome et qu'il ne soit pas fait usage d'imprimante (Circulaire n°99-186, 16/11/1999) ;
- ciseaux, colle et règle.

Tout autre matériel est interdit.

Documents à coller sur la copie :

- document-réponse automatisme DRA.....page 17/20
- document-réponse hydraulique DRH1.....page 18/20
- document-réponse hydraulique DRH2.....page 19/20
- document-réponse hydraulique DRH3.....page 20/20

RÉDIGER CHAQUE PARTIE SUR UNE COPIE DIFFÉRENTE.

- Partie 1** – Génie des procédés.....page 2 à 3/20
- Partie 2** – Régulation – Automatisme – Électrotechniquepage 4 à 6/20
- Partie 3** – Hydrauliquepage 7 à 8/20

**Dès que le sujet vous est remis, assurez-vous qu'il est complet.
Le sujet comporte 20 pages, numérotées de 1/20 à 20/20.**

BTS MÉTIERS DE L'EAU		Session 2016
Étude de cas – U. 61	Code : MTE6EDC	Page : 1/20

ÉTUDE DU TRAITEMENT DE LIXIVIAT D'UN CENTRE D'ENFOUISSEMENT DE DÉCHETS

1^{ère} partie – Étude du procédé de traitement

(40 points)

Durée indicative : 2 h

L'installation étudiée traite le liquide issu du ruissellement des eaux de pluie à travers différentes matières rassemblées dans un centre d'enfouissement de déchets. Ce liquide, appelé lixiviat, est récupéré à travers un réseau de drains souterrains puis conduit par effet gravitaire jusqu'à la station de traitement. Le lixiviat arrive dans une lagune de 4000 m³. Il est ensuite remonté dans un bassin d'anoxie à l'aide de pompes immergées.

La station a été dimensionnée pour un débit nominal de 20 m³.h⁻¹ en entrée de station.

Le lixiviat arrivant aux lagunes a une forte DCO, de l'ordre de 1,4 g d'O₂.L⁻¹, composée d'environ 700 mg d'O₂.L⁻¹ de DCO dure, difficilement éliminable.

Le lixiviat est cependant carencé en phosphore et en carbone.

Un synoptique de la station est présenté en annexe 1 (page 9/20).

P1. – Étude du traitement biologique (20 points)

Les valeurs mesurées dans la lagune en entrée de station ainsi que les normes à respecter avant rejet de l'effluent dans le milieu naturel sont indiquées dans les annexes 2 et 3 (pages 10 et 11/20).

P1.1. À l'aide des annexes 1, 2, 3, justifier l'ajout de méthanol dans les bassins d'anoxie 1 et 2.

P1.2. Calculer, respectivement, le flux massique journalier en DBO₅ entrant en kg.j⁻¹ et le flux massique journalier maximal en DBO₅ en kg.j⁻¹ à respecter au rejet dans le milieu naturel.

En déduire le flux massique journalier à éliminer en kg de DBO₅ par jour.

P1.3. À l'aide des annexes 2 et 4 (pages 10 et 11/20), établir la formule littérale (encore appelée équation aux grandeurs) de la charge volumique.

Calculer la charge volumique de l'installation en prenant en compte uniquement le volume du bassin d'aération.

En déduire le type de charge.

P1.4. À partir des annexes 2 et 3, calculer les rendements d'élimination attendus pour les trois paramètres : DCO, DBO₅, NTK.

Dans les bassins d'anoxie 1 et 2 a lieu l'étape de dénitrification, qui permet d'obtenir du diazote.

P1.5. À partir de l'annexe 2, **établir** la formule littérale de calcul de la masse de MVS totale nécessaire dans les deux bassins d'anoxie.

Calculer cette masse en tonnes.

En déduire la masse, en tonnes, de MVS dans le bassin d'anoxie 2.

P1.6. Préciser le rôle du dégazage à la sortie du bassin d'anoxie 2.

P1.7. À l'aide de l'annexe 1, **indiquer** le rôle des différents flux de boues à partir de la fosse à boues du clarificateur.

P2. – Étude du traitement physico-chimique (17 points)

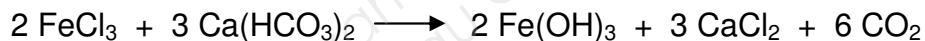
P2.1. À l'aide de l'annexe 2, **calculer** le rendement d'élimination de la DCO à la sortie du clarificateur.

Commenter ce résultat.

P2.2. L'effluent sortant du clarificateur est envoyé dans le Densadeg® où il va subir un traitement physico-chimique avec ajout de chlorure ferrique et de polymère.

À l'aide de l'annexe 2, **calculer** la concentration massique de la solution commerciale en chlorure ferrique. **En déduire** le débit de la pompe doseuse d'injection de chlorure ferrique.

P2.3. À partir de la réaction bilan **ci-dessous**, **calculer** la baisse d'alcalinité théorique, en degré français, dans l'effluent au cours de la coagulation :



P2.4. De la chaux est ajoutée en entrée du Densadeg®. **Préciser** son rôle.

P2.5. À l'aide de l'annexe 5 (page 11/20), **indiquer** les précautions à prendre pour manipuler ce produit.

P2.6. Préciser l'intérêt des lamelles dans le Densadeg®.

Donner la formule de la vitesse de Hazen.

À l'aide de l'annexe 2, **calculer** cette vitesse en m.h⁻¹. **Interpréter** la valeur obtenue.

P3. – Étude de l'affinage (3 points)

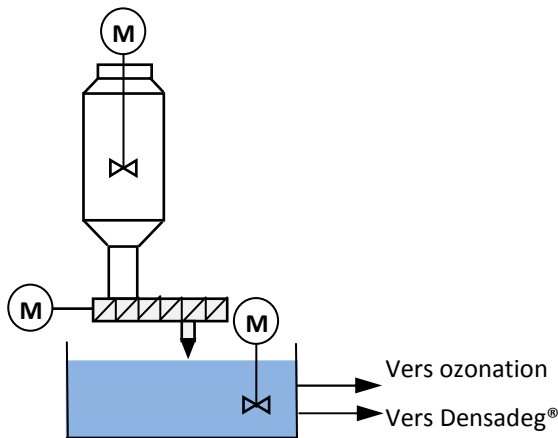
Après son passage dans le Densadeg®, l'eau clarifiée se dirige vers les deux tours d'ozonation pour élimination de la DCO restante. Ces deux tours sont en série.

P3.1. À l'aide de l'annexe 1, **justifier** la présence du procédé d'ozonation à ce niveau de la filière.

P3.2. À l'aide de l'annexe 2, **calculer** la vitesse de déplacement de l'eau en m.min⁻¹ pour un temps de contact global de 5 minutes dans les tours d'ozonation.

BTS MÉTIERS DE L'EAU		Session 2016
Étude de cas – U. 61	Code : MTE6EDC	Page : 3/20

Électrotechnique (9 pts)
Étude du moteur de la pompe lait de chaux.



Le traitement physico-chimique s'opère dans le Densadeg®.

Une pompe à vis excentrée permet l'injection de lait de chaux pour assurer la floculation des boues.

La pompe fonctionne à vitesse variable grâce à un variateur.

Caractéristiques de la pompe à vis excentrée :

- liquide pompé : lait de chaux
- performances :

débit en L.h ⁻¹	pression en bar	vitesse en tr.min ⁻¹
330	4	50 minimum
1750	4	250 maximum

- puissance hydraulique utile à 244 tr.min⁻¹ : **1308 W** ;
- plaque signalétique du moteur :
 - $\cos \varphi = 0,9$;
 - $N = 244 \text{ tr.min}^{-1}$;
 - $P = 1,5 \text{ kW}$;
 - **230 V / 400 V** ;
 - **5,25 A / 3,04 A** ;
 - $f = 50\text{Hz}$.

E1. Calculer la puissance nominale absorbée (Pa) par le moteur.

E2. Calculer le rendement total de l'ensemble motopompe.

E3. Calculer le couple moteur nominal (Tu).

E4. À l'aide de l'annexe 6 (page 12/20), **choisir** et **justifier** la référence complète du variateur à associer au moteur.

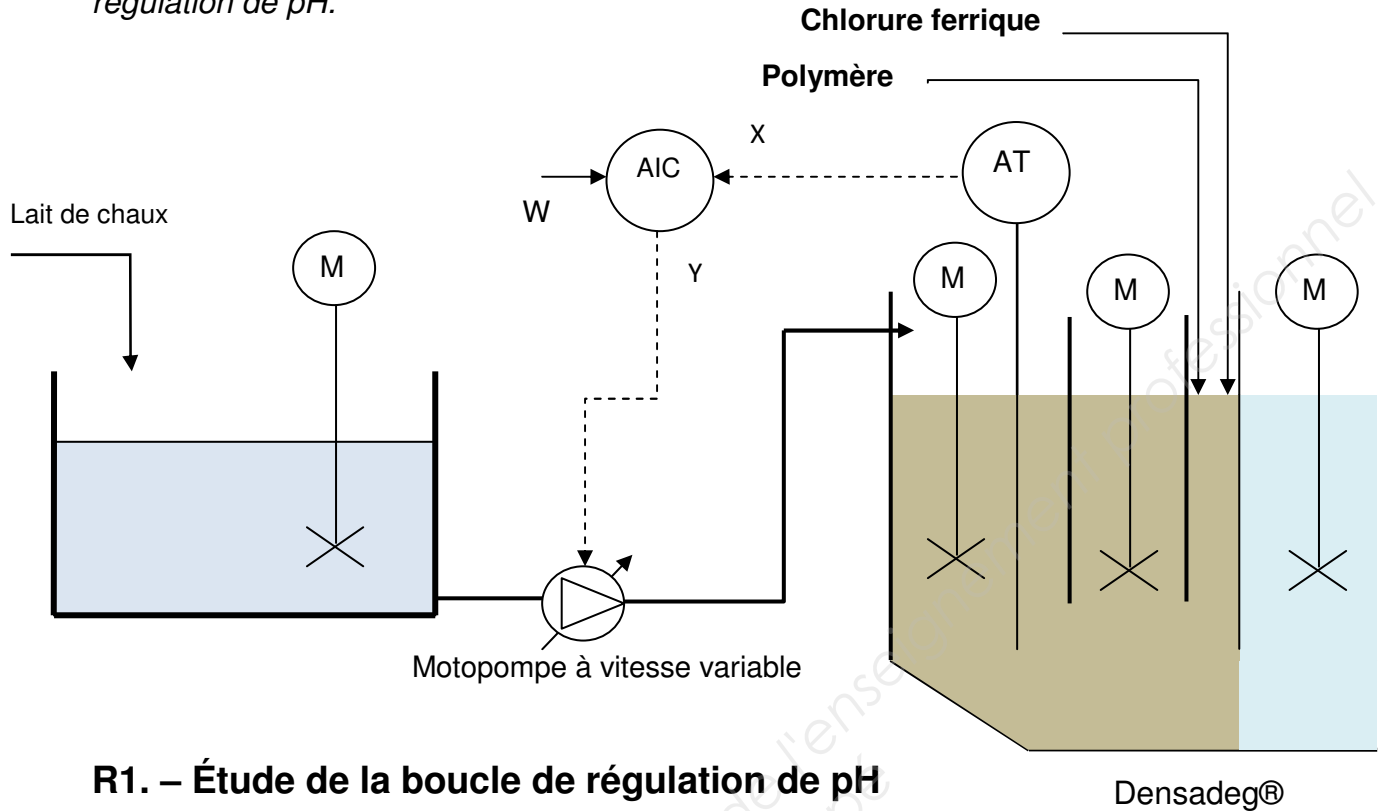
E5. Choisir et **justifier** le couplage du moteur.

E6. À l'aide de l'annexe 7 (page 13/20), **nommer** et **expliquer** le rôle de KM1 dans le circuit de puissance.

E7. À l'aide de l'annexe 7, **nommer** et **expliquer** la fonction de T1.

Régulation (9 pts)

L'injection de lait de chaux dans le Densadeg® est contrôlée par l'intermédiaire d'une régulation de pH.



R1. – Étude de la boucle de régulation de pH

R1.1. Indiquer la signification des équipements : **AT**, **AIC**.

R1.2. Identifier les grandeurs **réglée**, **réglante** et **perturbatrice**.

R1.3. Compléter les quatre indications manquantes sur le schéma fonctionnel du document-réponse DRA (page 17/20, à découper et coller sur la copie).

R2. – Transmetteur de pH

- Pour un pH de 0 le transmetteur émet un signal de **4 mA**.
- Pour un pH de 14 le transmetteur émet un signal de **20 mA**.

R2.1. Calculer la valeur du courant émis pour contrôler un pH de **8,5**.

R2.2. Calculer la variation de pH qui engendre une variation de **1 mA**.

Automatisme (7 pts)

La législation impose de traiter les eaux de ruissellement susceptibles d'être entrées en contact avec les déchets. Ces eaux sont acheminées vers les bassins de stockage grâce à différents postes de relevage situés en amont de ces bassins.

Elles sont stockées dans deux bassins (schéma de l'installation **annexe 9**, page 15/20).

Selon les degrés de pollution des eaux collectées, elles sont, soit rejetées en milieu naturel, soit dirigées vers la station pour traitement. Ceci est géré de manière automatisée par une sonde de conductivité et un automate Zelio. Ce dernier possède une carte de conversion analogique numérique permettant de faire l'acquisition des informations de niveau et de conductivité.

A1. À l'aide de **l'annexe 8 (page 14/20)**, indiquer la résolution en bits de la carte de conversion analogique numérique.

- Le capteur de niveau délivre un signal en **0 – 10 V** pour une hauteur variant de **0 à 8 m**.
- Pour un niveau **de 7 m (NTH)**, le signal de sortie du capteur sera de **8,75 V**.

Le nombre maximum de mots que l'on peut coder sur n bits est de 2^n .

A2. Calculer la valeur décimale du mot correspondant au niveau NTH.

A3. Établir l'équation logique de la variable de sortie MG présente dans l'extrait de programme en **annexe 10 (page 15/20)**.

A4. Compléter le câblage de l'entrée analogique du capteur de niveau et des sorties OUV1 et FEV1 sur le **document-réponse DRA (page 17/20)**, à l'aide de **l'annexe 11 (page 16/20, à découper et coller sur la copie)**.

L'adressage **ci-dessous** sera respecté.

Tableau d'adressage

Entrées	Mnémonique	Type
I_D	Niveau (ultrason)	Analogique
Sorties	Mnémonique	Type
Q1	OUV1	Relais sortie
Q2	FEV1	Relais sortie

3^{ème} partie – Hydraulique

(15 points)

Durée indicative : 45 minutes

Étude du réseau de pompage en lagune en entrée de la step.

Les deux parties H1 et H2 sont indépendantes.

Le lixiviat (eau polluée) est récolté par un système de drainage pour être stocké dans une lagune d'aération. Le site comporte un bassin d'orage qui permet de stocker le surplus de lixiviat en cas d'intempéries. L'effluent arrive à la station et passe par un dégrilleur et un décanteur primaire puis, il est stocké dans deux réservoirs d'une capacité totale de **8 000 m³**. Le premier est utilisé pour stocker le lixiviat, le second est un bassin d'orage qui sert de stockage lorsqu'une charge trop importante de lixiviat arrive à la station. Le volume permanent de lixiviat ne dépasse pas **4 000 m³**. Le pompage est assuré par deux pompes ; une en fonctionnement et une de secours.

La station a été dimensionnée selon les caractéristiques suivantes :

- débit nominal en entrée de la station = **20 m³.h⁻¹** ;
- débit de pointe admissible = **40 m³.h⁻¹** ;
- canalisation diamètre intérieur : **50 mm** ;
- lagune de stockage capacité **4 000 m³** ;
- viscosité cinématique du lixiviat : $\nu = 10^{-6} \text{ m}^2.\text{s}^{-1}$;
- masse volumique du lixiviat $\rho = 10^3 \text{ kg.m}^{-3}$;
- accélération de la pesanteur : $g = 9,81 \text{ m.s}^{-2}$;
- longueur de la canalisation : **L = 30 m**.

H1. - Étude du réseau alimentant la station

H1.1. Calculer le débit nominal en entrée de station (en m³.s⁻¹).

H1.2. Calculer la vitesse d'écoulement dans la canalisation pour ce débit nominal.

H1.3. À partir de l'abaque de *Moody-Colebrook* document-réponse DRH1 (page 18/20, à découper et coller sur la copie), déterminer le facteur de frottement λ de la conduite de refoulement.

Le coefficient de rugosité absolue de la conduite est $\epsilon = 1 \text{ mm}$.

Les singularités du réseau sont les suivantes (voir schéma dans la **partie H2** page 8/20) :

- **2 coudes** arrondis à 90° rayon moyen ;
- **1 clapet** anti-retour ;
- **1 robinet** à tournant angle d'ouverture $\alpha = 10^\circ$.

BTS MÉTIERS DE L'EAU		Session 2016
Étude de cas – U. 61	Code : MTE6EDC	Page : 7/20

H1.4. Déterminer les longueurs équivalentes des singularités à partir du **document-réponse DRH2 (page 19/20, à découper et coller sur la copie)**.

H1.5. Calculer la perte de charge totale ΔH_{totale} de l'installation pour un facteur de frottement λ égal à **0,048**.

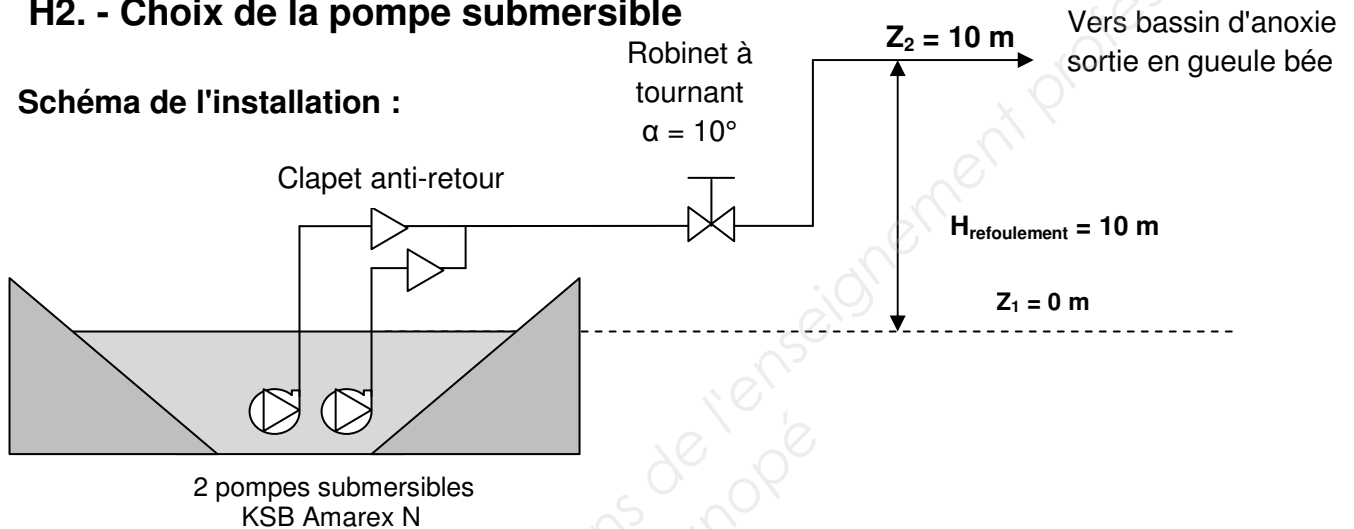
Rappel de la relation de Darcy :

$$\Delta H = \frac{\lambda L v^2}{2gD}$$

ΔH en mCE (m de colonne d'eau) et v, D, L en unité S.I.

H2. - Choix de la pompe submersible

Schéma de l'installation :



- valeur du débit nominal $Q = 20 \text{ m}^3 \cdot \text{h}^{-1}$;
- perte de charge totale $\Delta H_{totale} = 17 \text{ mCE}$.

H2.1. Calculer la Hauteur Manométrique Totale (**HMT**) de la pompe submersible KSB Amarex N.

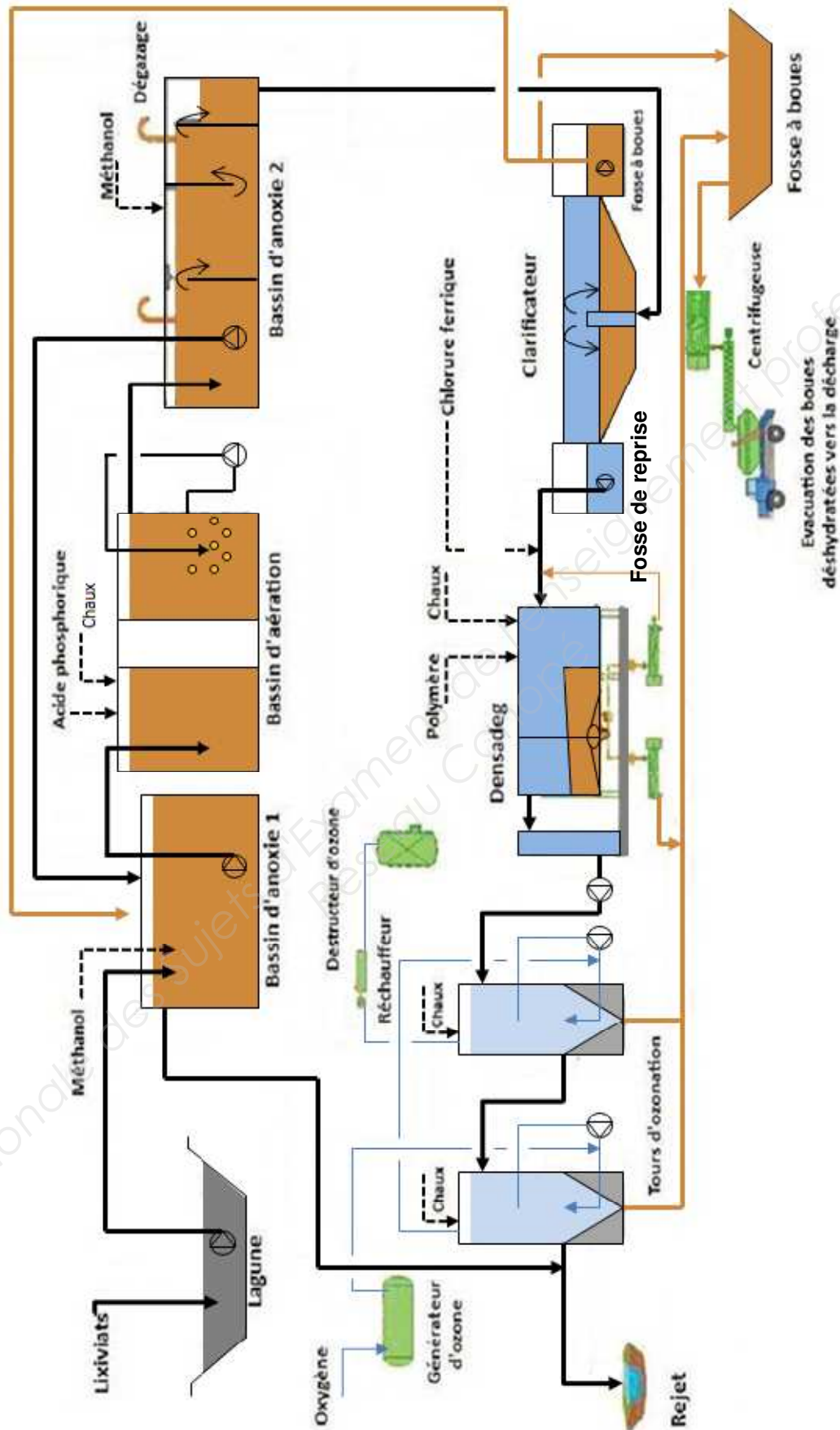
On admettra que $P_1 = P_2 = P_{atm}$ et que le niveau de la lagune reste constant.

H2.2. Placer le point de fonctionnement souhaité sur le **document-réponse DRH3 (page 20/20, à découper et coller sur la copie)**.

Choisir et justifier le diamètre de la roue qui convient.

H2.3. En supposant que le débit reste à $20 \text{ m}^3 \cdot \text{h}^{-1}$ pour le diamètre de roue choisi, **déterminer** la puissance hydraulique et la puissance absorbée par la pompe.

Annexe 1 – Synoptique de la filière de traitement



Annexe 2 – Données de la station étudiée

Valeurs mesurées en entrée de station dans la lagune.

Débit moyen : $20 \text{ m}^3 \cdot \text{h}^{-1}$

Paramètre	Concentration en $\text{mg} \cdot \text{L}^{-1}$
DCO	1400
DBO ₅	170
MES	30
NTK	709

Bassins d'anoxie

Vitesse de dénitrification = $2,1 \text{ g de N-NO}_3^- \cdot \text{h}^{-1} \cdot \text{kg}^{-1}$ de MVS dans les bassins 1 et 2.

Flux global de N-NO_3^- dans les bassins 1 et 2 = $340 \text{ kg} \cdot \text{j}^{-1}$.

Masse de MVS dans le bassin d'anoxie 1 = 2 tonnes.

Bassin d'aération

Volume = 500 m^3 .

Densadeq® : décanteur lamellaire

DCO dure à la sortie du clarificateur = $700 \text{ mg} \cdot \text{L}^{-1}$.

Nombre de lamelles : 10.

Surface d'une lamelle : 4 m^2 .

Angle d'inclinaison : 60° .

Coagulant : solution commerciale de chlorure ferrique, de densité 1,45 et de pureté 41 %.

Le taux de traitement est de $100 \text{ mg} \cdot \text{L}^{-1}$ en chlorure ferrique pur.

$M_{\text{Fe}} = 55,8 \text{ g} \cdot \text{mol}^{-1}$; $M_{\text{Cl}} = 35,5 \text{ g} \cdot \text{mol}^{-1}$.

Vitesse de sédimentation des floccs = $2 \text{ m} \cdot \text{h}^{-1}$.

Une tour d'ozonation : hauteur = 8,5 m.

Les deux tours d'ozonation sont en série.

Annexe 3 – Valeurs à respecter pour le rejet du lixiviat dans le milieu naturel

Débit moyen : $20 \text{ m}^3 \cdot \text{h}^{-1}$

Paramètre	Concentration en $\text{mg} \cdot \text{L}^{-1}$
DCO	150
DBO ₅	30
MES	30
NTK	20

Annexe 4 – Procédés d'épuration en fonction de la charge

Type de charge	Forte charge	Moyenne charge	Faible charge
Charge massique : Cm (kg de DBO ₅ . kg ⁻¹ de MVS . j ⁻¹)	0,4 à 1	0,15 à 0,35	0,1
Charge volumique : Cv (kg de DBO ₅ . m ⁻³ . j ⁻¹)	1,5	0,5 à 1,5	0,3

Annexe 5 – Extrait de la fiche de données de sécurité de l'hydroxyde de calcium

Conforme au règlement (CE) n° 1907/2006 (modifié par le règlement (UE) n° 453/2010).

Date de révision : 30.07.2014.

Date d'édition : 06.08.2014.

1 : identification de la substance

Identificateur de la substance : calcium hydroxyde.

Réactif chimique à usage général.

2 : identification des dangers

Éléments d'étiquetage : pictogramme.



Mention d'avertissement : danger

H315 : provoque une irritation cutanée.

H318 : provoque des lésions oculaires graves.

H335 : peut irriter les voies respiratoires.

Annexe 6 – Documentation technique du variateur ALTIVAR 61

Extrait de la documentation Télémécanique



ATV61HU22N4



ATV61HU40N42



ATV61HC31N4

Variateurs IP 20 avec filtre CEM catégorie C2 ou C3 intégré

Moteur		Réseau				Altivar 61			Référence	Masse
Puissance indiquée sur plaque (1)		Courant de ligne (2)		Puissance loc ligne apparente présumé maxi	Courant maximal permanent (1)	Courant transitoire maxi pendant 60 s				
		380 V 480 V		380 V	380 V (IEC)	460 V (NEC)				
kW	HP	A	A	kVA	kA	A	A		kg	
Tension d'alimentation triphasée : 380...480 V 50/60 Hz										
0,75	1	3,7	3	2,4	5	2,3	2,1	2,7	ATV61H075N4	3,000
1,5	2	5,8	5,3	3,8	5	4,1	3,4	4,9	ATV61HU15N4	3,000
2,2	3	8,2	7,1	5,4	5	5,8	4,8	6,9	ATV61HU22N4	3,000
3	-	10,7	9	7	5	7,8	6,2	9,3	ATV61HU30N4	4,000
4	5	14,1	11,5	9,3	5	10,5	7,6	12,6	ATV61HU40N4	4,000
5,5	7,5	20,3	17	13,4	22	14,3	11	17,1	ATV61HU55N4	5,500
7,5	10	27	22,2	17,8	22	17,6	14	21,1	ATV61HU75N4	5,500
11	15	36,6	30	24,1	22	27,7	21	33,2	ATV61HD11N4	7,000
15	20	48	39	31,6	22	33	27	39,6	ATV61HD15N4	22,000
18,5	25	45,5	37,5	29,9	22	41	34	49,2	ATV61HD18N4	22,000
22	30	50	42	32,9	22	48	40	57,6	ATV61HD22N4	30,000
30	40	66	56	43,4	22	66	52	79,2	ATV61HD30N4	37,000
37	50	84	69	55,3	22	79	65	94,8	ATV61HD37N4	37,000
45	60	104	85	68,5	22	94	77	112,8	ATV61HD45N4	44,000
55	75	120	101	79	22	118	96	139,2	ATV61HD55N4	44,000
75	100	167	137	109,9	22	160	124	192	ATV61HD75N4	44,000
90	125	168	143	109,3	35	179	179	214,8	ATV61HD90N4	84,000
110	150	202	168	133	35	215	215	258	ATV61HC11N4	84,000
132	200	239	224	157,3	35	259	259	310,8	ATV61HC13N4	108,000
180	250	289	275	190,2	50	314	314	376,8	ATV61HC16N4	118,000
200	300	357	331	235	50	427	427	512,4	ATV61HC22N4	163,000
220	350	398	383	260,8	50					
250	400	444	435	292,2	50	481	481	577,2	ATV61HC25N4	207,000
280	450	494	494	325,1	50	616	616	739,2	ATV61HC31N4	207,000
315	500	555	544	365,3	50					
355	-	637	597	419,3	50	759	759	910,8	ATV61HC40N4	320,000
400	600	709	644	468,8	50					
500	700	876	760	576,8	50	941	941	1129,2	ATV61HC50N4	330,000
560	800	978	858	643,6	50	1188	1188	1425,6	ATV61HC63N4	435,000
630	900	1091	964	718	50					

Encadrements (hors tout)

Variateurs	I x H x P mm
ATV61H075N4...HU22N4	130 x 230 x 175
ATV61HU30N4, HU40N4	155 x 260 x 187
ATV61HU55N4, HU75N4	175 x 295 x 187
ATV61HD11N4	210 x 295 x 213
ATV61HD15N4, HD18N4	230 x 400 x 213
ATV61HD22N4	240 x 420 x 236
ATV61HD30N4, HD37N4	240 x 560 x 266
ATV61HD45N4...HD75N4	320 x 630 x 290
ATV61HD90N4, HC11N4	320 x 920 x 377
ATV61HC13N4	360 x 1022 x 377
ATV61HC16N4	340 x 1190 x 377
ATV61HC22N4	440 x 1190 x 377
ATV61HC25N4, HC31N4	596 x 1190 x 377
ATV61HC40N4, HC50N4	690 x 1390 x 377
ATV61HC63N4	1120 x 1390 x 377

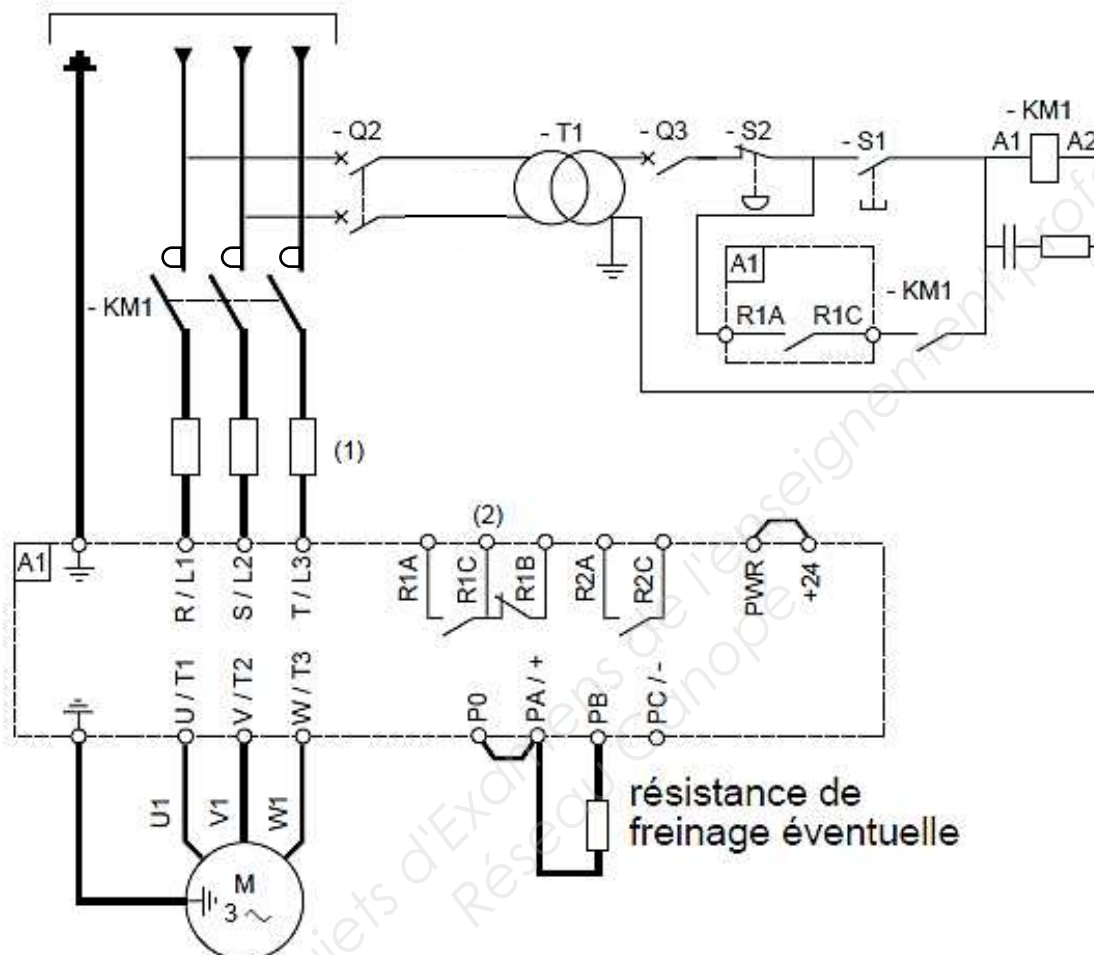
(1) Ces valeurs sont données pour une fréquence de découpage nominale de 12 kHz jusqu'à ATV61HD75N4, de 4 kHz pour ATV61HD90N4 ou de 2,5 kHz pour ATV61HC11N4...HC63N4, en utilisation en régime permanent.
La fréquence de découpage est réglable de 1...16 kHz jusqu'à ATV61HD75N4 et de 2...8 kHz pour ATV61HD90N4...ATV61HC63N4.

Au-delà de 2,5, 4 ou 12 kHz selon le calibre, le variateur diminuera de lui-même la fréquence de découpage en cas d'échauffement excessif. Pour un fonctionnement en régime permanent au-delà de la fréquence de découpage nominale, un déclassement doit être appliqué au courant nominal du variateur, voir les courbes de déclassement sur notre site internet www.schneider-electric.com.

(2) Valeur typique pour la puissance moteur indiquée et pour loc ligne présumé maxi.

Nota : consulter les tableaux de synthèse des associations possibles entre variateurs, options et accessoires, pages 1/36, 1/37, 1/44 et 1/45.

Alimentation triphasée



Tension d'alimentation du circuit de commande : 24 V_{AC}.

(1) Inductance de ligne éventuelle.

(2) Contacts du relais de défaut pour signaler à distance l'état du variateur.

Annexe 8 – Caractéristiques de l'automate Zelio

Extrait de la documentation Schneider



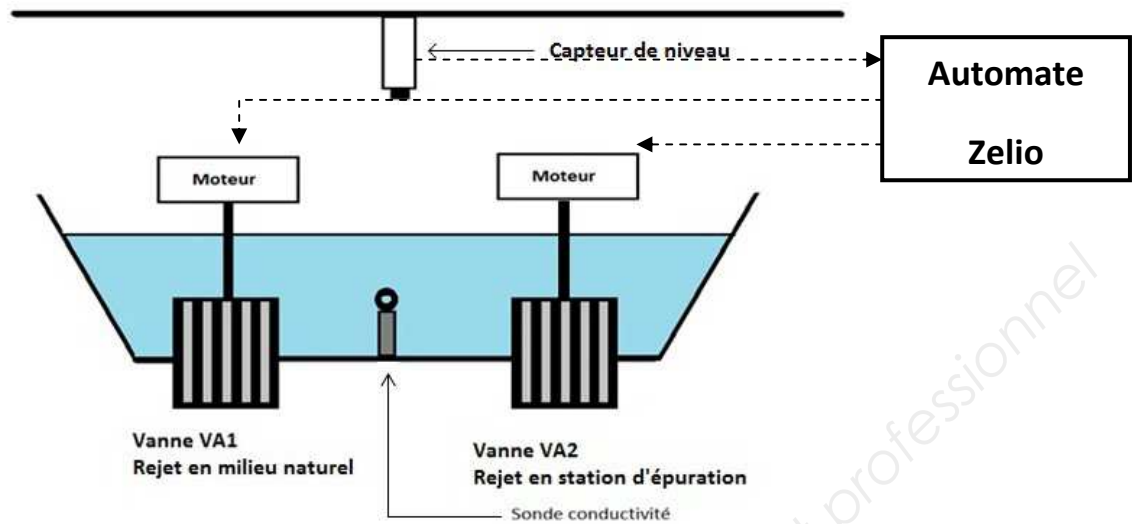
Principales

Gamme de produits	Zelio Logic
Type de produit ou de composant	Packs découverte modulaires
Nombre entrées TOR	6 conformément à EN/IEC 61131-2 type 1
Nombre de sorties	4 relais sortie(s)

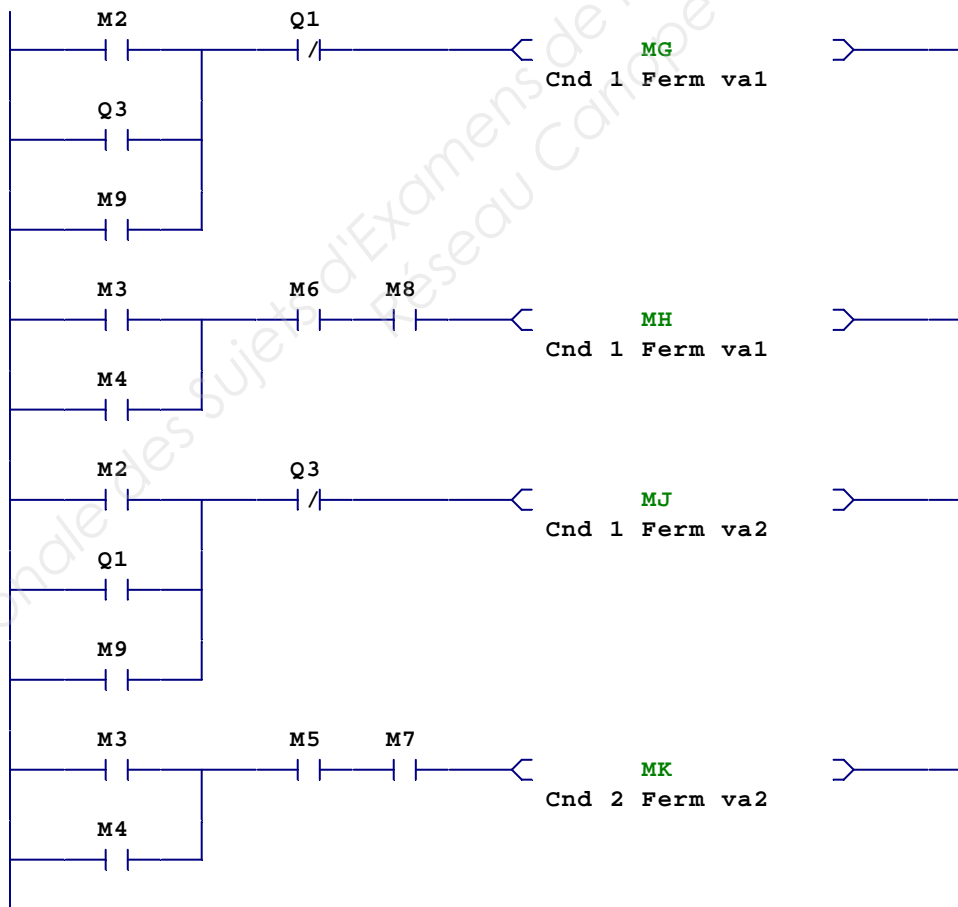
Complémentaires

Composition du kit	Câble PC SR2USB01 pour connexion au PC SR3B101BD CD-ROM du logiciel de programmation Zelio Soft 2
Nombre d'entrées/sorties	10
Affichage local	Avec
Nombre de lignes de schéma de contrôle	<= 200 avec FBD programmation 120 avec Ladder programmation
Temps de cycle	6...90 ms
Temps de sauvegarde	10 ans à 25 °C
Dérive de l'horloge	6 s/mois à 25 °C 12 min/an à 0...55 °C
Vérifications	Mémoire du programme à chaque mise sous tension
[Us] tension d'alimentation	24 V
Limites de la tension d'alimentation	19.2...30 V
Courant d'alimentation	100 mA (avec extensions) 100 mA (sans extension)
Puissance dissipée en W	3 W sans extension 8 W avec extensions
Protection inversion de polarité	Avec
Type d'entrée TOR	Résistif
Tension entrées TOR	24 V c.c.
Courant d'entrée TOR	4 mA
Fréquence de comptage	1 kHz pour entrée TOR
Tension état 1 garanti	>= 15 V pour circuit d'entrée numérique I1 à IA et IH à IR >= 15 V pour IB à IG utilisés comme circuit d'entrée numérique
Tension état 0 garanti	<= 5 V <= 5 V pour circuit d'entrée numérique I1 à IA et IH à IR <= 5 V pour IB à IG utilisés comme circuit d'entrée numérique
Courant état 1 garanti	>= 1.2 mA pour IB à IG utilisés comme circuit d'entrée numérique >= 2.2 mA pour circuit d'entrée numérique I1 à IA et IH à IR
Courant état 0 garanti	< 0.5 mA pour IB à IG utilisés comme circuit d'entrée numérique < 0.75 mA pour circuit d'entrée numérique I1 à IA et IH à IR
Compatibilité de l'entrée	Détecteurs de proximité PNP à 3 fils (entrée TOR)
Nombre entrées analogiques	4
Type d'entrée analogique	Mode commun
Plage entrées analogiques	0...10 V 0...24 V
Tension maximale admissible	30 V (circuit d'entrée analogique)
Résolution entrées analogiques	8 bits
Valeur du bit de poids faible	39 mV (circuit d'entrée analogique)

Annexe 9 – Schéma de l'installation



Annexe 10 – Extrait de programme de commande des vannes motorisées

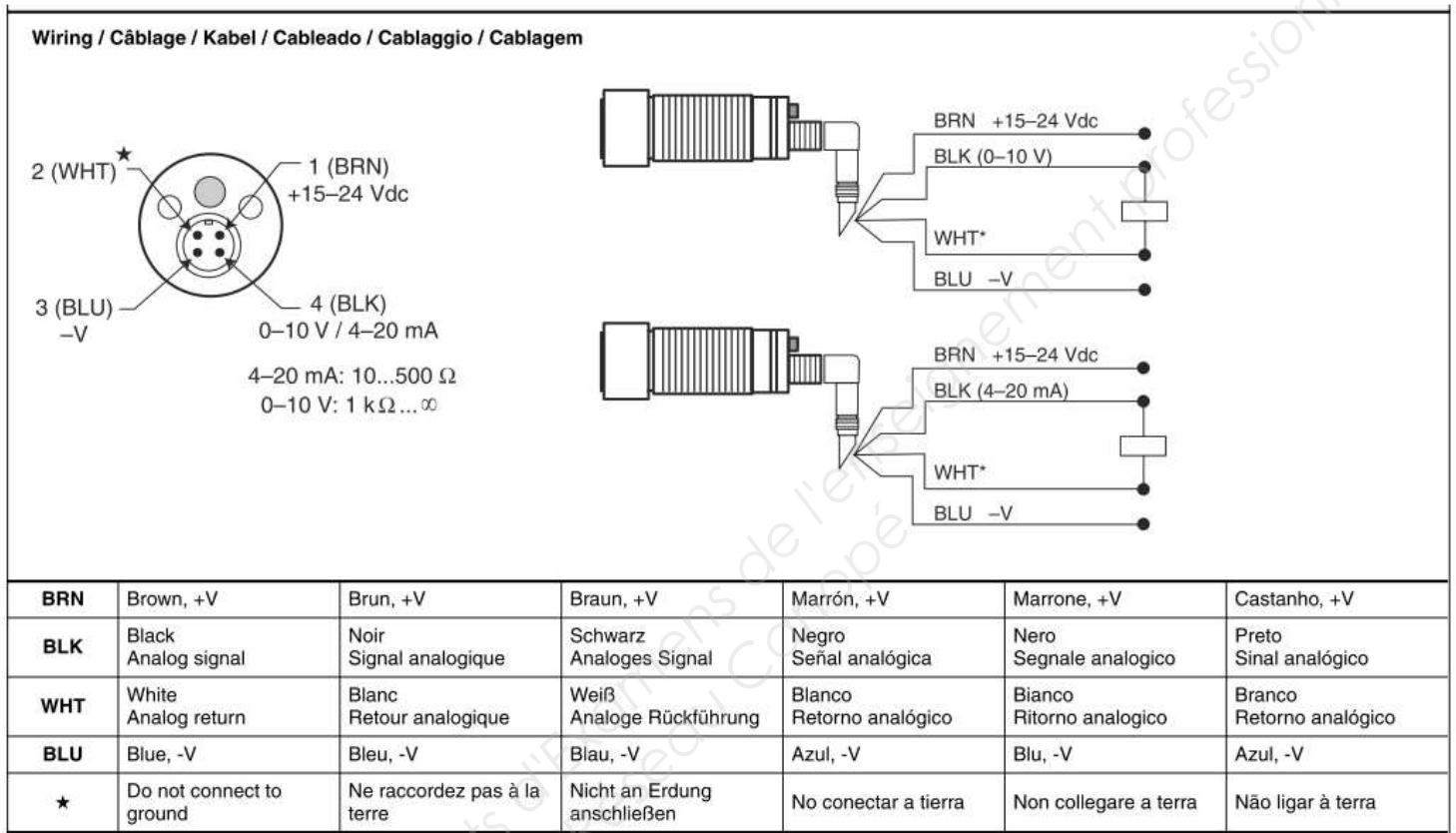


Annexe 11 – Extrait de la documentation technique

Télémécanique

Sonde XX930A3

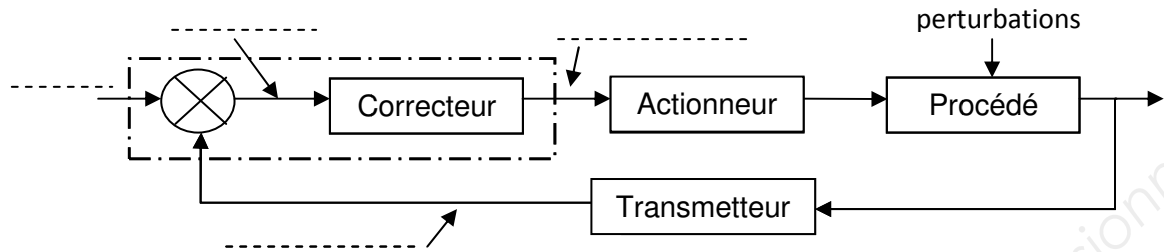
Caractéristiques du câblage :



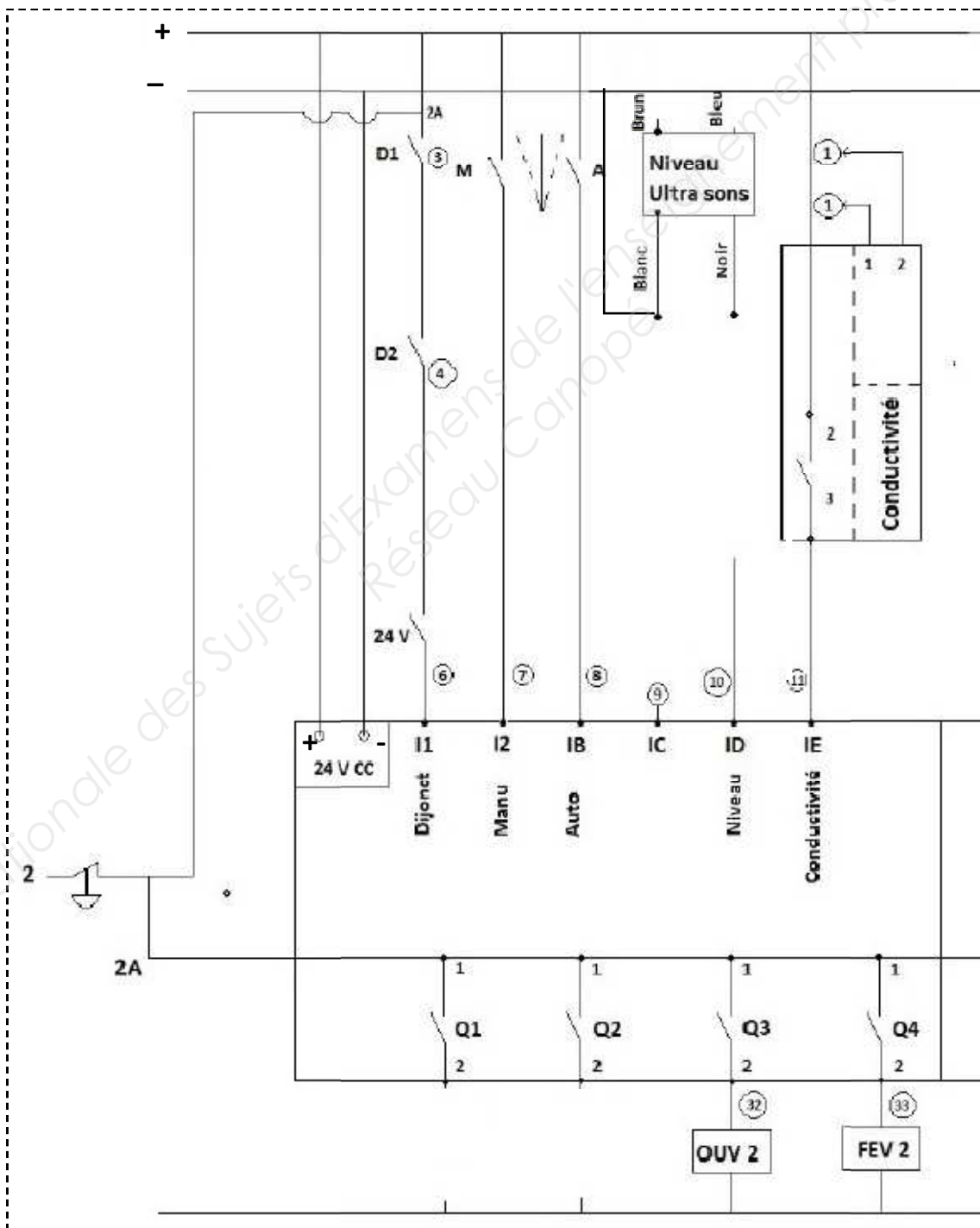
DOCUMENT-RÉPONSE RÉGULATION / AUTOMATISME DRA

(À découper et coller sur la copie)

R1.3. Schéma fonctionnel de régulation



A4. Schéma de câblage de l'automate

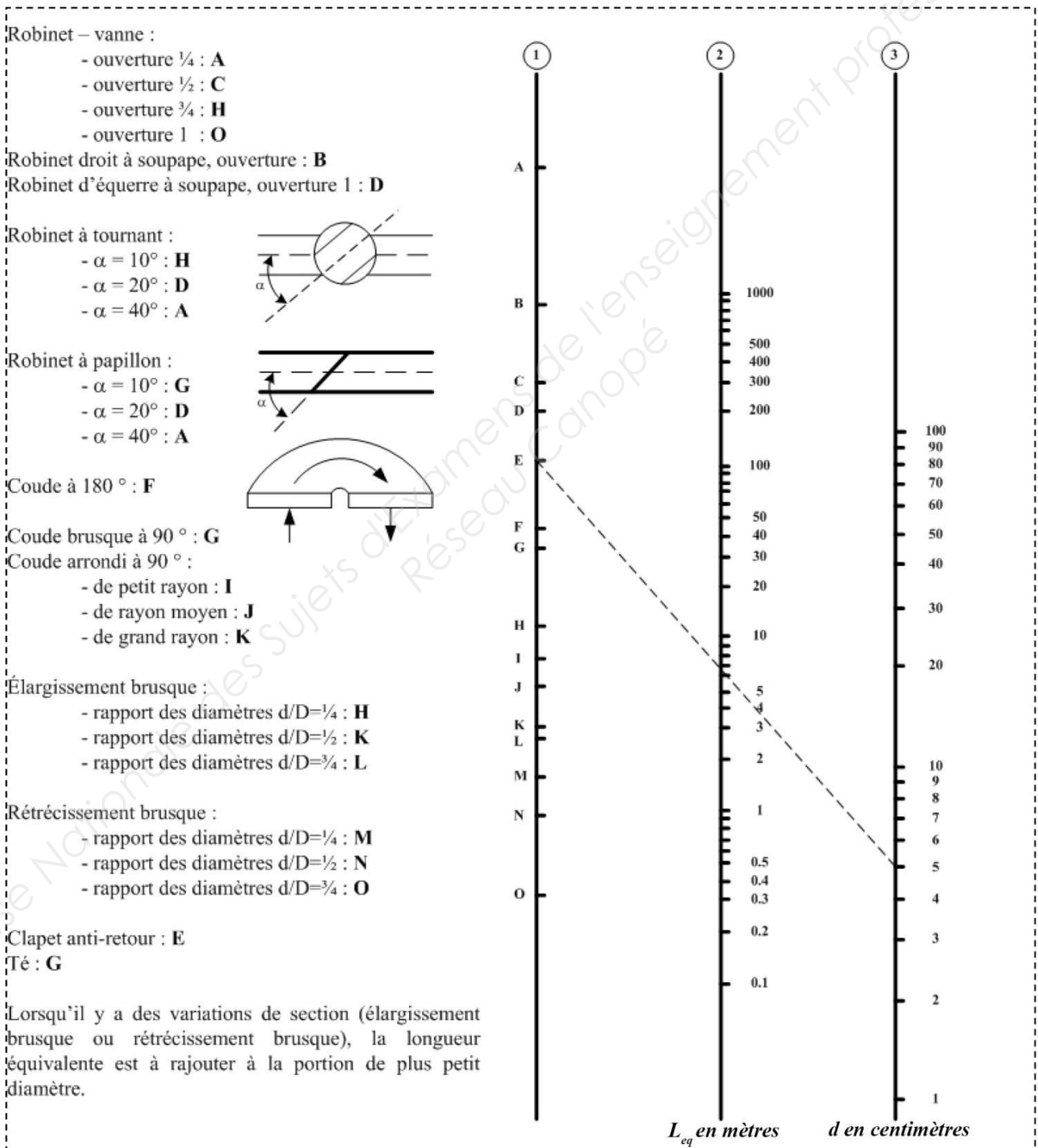


DOCUMENT-RÉPONSE HYDRAULIQUE DRH2 (À découper et coller sur la copie)

Abaque des longueurs équivalentes

Exemple d'utilisation de l'abaque.

Pour calculer la longueur équivalente d'un clapet anti-retour placé sur une canalisation de 5 cm de diamètre, on joint le point $d = 5$ cm (sur la droite numéro 3) au point E qui représente le clapet anti-retour (sur la droite numéro 1) ; on lit $L_{eq} = 7$ m (sur la droite numéro 2).



DOCUMENT-RÉPONSE HYDRAULIQUE DRH3 (À découper et coller sur la copie)

Courbe caractéristique KSB - Extrait de la documentation KSB Courbes :

- $H_{mt} = f(Q)$ et $\eta_p = f(Q)$;
- $P = f(Q)$ puissance absorbée en kW ;
- vitesse de rotation à $n = 2900$ tr/min.

